



УДК 535.375

М. И. Горобец, С. А. Кириллов, М. М. Гафуров, М. Б. Атаев,  
Д. О. Третьяков

### Сольватация и ассоциация ионов в системе $\text{LiClO}_4$ — диметилсульфоксид

(Представлено членом-корреспондентом НАН Украины Н. С. Слободяником)

*Ионные равновесия в системе  $\text{LiClO}_4$  — диметилсульфоксид (ДМСО) при 90 °С в интервале концентраций 0,05–0,25 мольн. долей соли исследованы методом спектроскопии комбинационного рассеяния. Установлены спектроскопические проявления водородной связи между молекулами ДМСО и перхлорат-ионами. Определены концентрации мономерных, димерных и входящих в сольватную сферу катиона лития молекул ДМСО; свободных и входящих в сольватную сферу перхлорат-иона молекул растворителя; свободных анионов, ионных пар, разделенных растворителем, и контактных ионных пар. Сделаны заключения относительно состава всех компонентов растворов.*

Применение неводных растворов в качестве электролитов для литий-ионных источников тока требует наличия сведений об их молекулярном и ионном составех [1]. Колебательная спектроскопия позволяет охарактеризовать явления сольватации катионов и анионов, различать ионные пары, разделенные растворителем, контактные ионные пары и более сложные агрегаты, а также оценить равновесия между различными частицами в системе [2, 3]. Хотя электролиты на основе диметилсульфоксида (ДМСО)  $(\text{CH}_3)_2\text{SO}$  используются в литий-ионных источниках тока [4] и детально изучены методами рентгеновского, нейтронного рассеяния, молекулярной динамики [5, 6] и колебательной спектроскопии [2, 3, 7], однако однозначного представления о составе ионных сольватов и ассоциатов в среде ДМСО не существует.

В настоящем сообщении описаны равновесия между частицами в системе  $\text{LiClO}_4$  —  $(\text{CH}_3)_2\text{SO}$  по данным спектроскопии комбинационного рассеяния (КР) в интервале концентраций 0,05–0,25 мольн. долей соли.

$\text{LiClO}_4$  (99,98%; Новосибирск, Россия) и ДМСО ( $\geq 99,9\%$ ; 276855 “Aldrich”) использовали без предварительной очистки. Спектры КР возбуждали лазером ( $\lambda = 532$  нм) и регистрировали на конфокальном лазерном микроскопе Senterra (“Bruker”, Германия) в специально сконструированной нагревательной приставке при щелях  $50 \times 100$  мкм с разрешением  $3\text{--}5$  см<sup>-1</sup>. Накапливали не менее 20 сканов, время интегрирования 20 с. Приводимые данные

© М. И. Горобец, С. А. Кириллов, М. М. Гафуров, М. Б. Атаев, Д. О. Третьяков, 2014

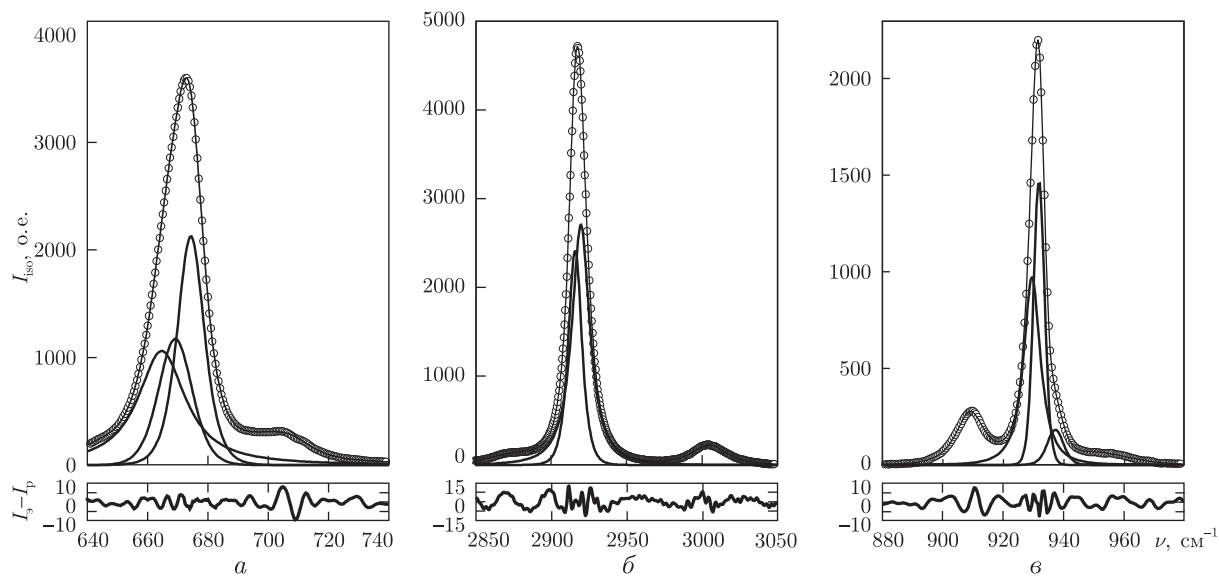


Рис. 1. Спектры комбинационного рассеяния растворов  $\text{LiClO}_4$  (0,15 мольн. долей) — ДМСО (0,85 мольн. долей), полученные при  $90^\circ\text{C}$ :

*a* — область валентного CSC-колебания молекулы ДМСО; *b* — область СН-колебаний молекулы ДМСО; *v* — область полностью симметричного колебания перхлорат-иона

Кружками показаны экспериментальные значения, тонкими линиями — результаты разложения спектров на компоненты.  $I_s - I_p$  — разности экспериментальных и рассчитанных величин

получены при температуре  $90^\circ\text{C}$ . Для разделения сложных контуров КР на компоненты применяли метод, описанный в статье [8]. Интенсивности полученных компонент контура считали пропорциональными концентрациям, согласно публикации [9].

Примеры спектров растворов перхлората лития в ДМСО демонстрирует рис. 1. Отношение колебаний ДМСО соответствует аналогичным колебаниям, описанным в работе [10]. Для получения сведений о сольватации катионов исследовали спектры КР в области симметричного  $\nu_{10}$  ( $A'$ ) CSC-валентного колебания ДМСО при  $\sim 670\text{ см}^{-1}$ . О сольватации анионов судили по изотропным спектрам в области симметричного  $\nu_3$  ( $A'$ ) СН-валентного колебания ДМСО при  $\sim 2910\text{ см}^{-1}$ . Об образовании ионных пар делали выводы, исходя из спектров перхлорат-иона в области полностью симметричного колебания  $\nu_1$  ( $A_1$ ) при  $\sim 933\text{ см}^{-1}$  [11, 12].

Область симметричного CSC-валентного колебания ДМСО состоит из трех компонент: *низкочастотной*, принадлежащей мономерным молекулам ДМСО, *промежуточной*, — димерным молекулам ДМСО, и *высокочастотной* — молекулам растворителя, входящим в сольватную сферу катиона лития (см. *a* на рис. 1). Зависимости равновесных концентраций мономеров, димеров и сольватирующих молекул от состава раствора иллюстрирует рис. 2, *a*, зависимость среднего координационного числа иона лития от общей его концентрации, равной концентрации соли, — рис. 3, *a*. Видно, что в сольватную сферу иона лития при  $90^\circ\text{C}$  входит около 2 молекул ДМСО.

Разложение спектров жидкого ДМСО в области симметричного СН-валентного колебания на компоненты показано двумя тонкими линиями (см. *b* на рис. 1). Более высокочастотная из них принадлежит свободным молекулам ДМСО, а более низкочастотная — молекулам растворителя, входящим в сольватную сферу перхлорат-иона и связанным с ним водородной связью. В индивидуальном ДМСО молекулы не склонны к образованию водо-

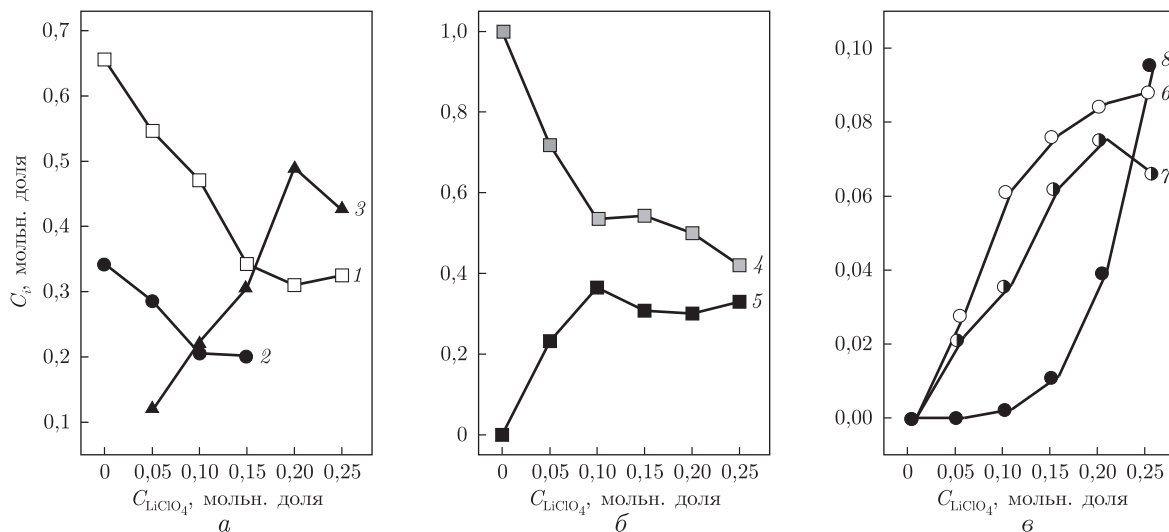


Рис. 2. Зависимость концентрации от состава раствора: *a* — мономерных (1), димерных (2) и входящих в сольватную сферу катиона лития (3) молекул ДМСО; *б* — свободных (4) и входящих в сольватную сферу перхлорат-иона (5) молекул растворителя; *в* — свободных анионов (6), ионных пар, разделенных растворителем (7), и контактных ионных пар (8)

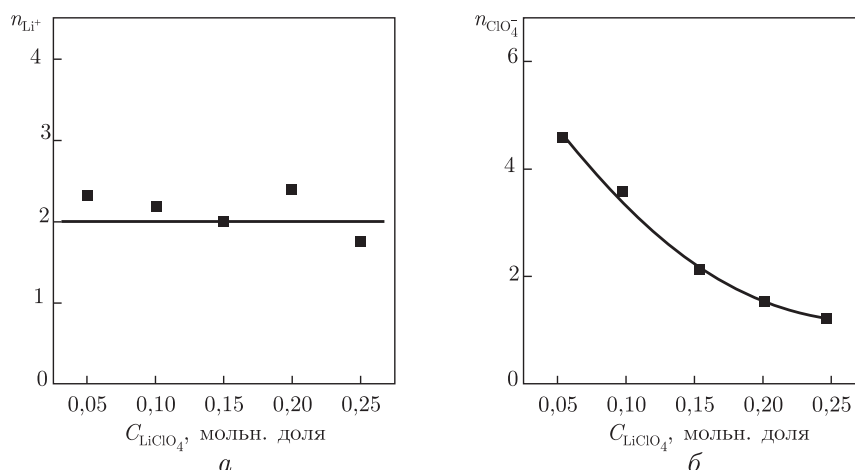


Рис. 3. Зависимость среднего числа молекул ДМСО, приходящихся на один катион (*a*) и анион (*б*), от состава раствора

родной связи, и в этой области наблюдается единственная линия. Зависимости равновесных концентраций свободных и водородно-связанных молекул ДМСО от состава раствора приведены на рис. 2, *б*. Среднее координационное число перхлорат-иона существенно зависит от состава раствора (см. *б* на рис. 3). В частности, в концентрированных растворах около аниона удерживается не более одной молекулы ДМСО.

В области полносимметричного колебания  $\text{ClO}_4^-$  проявляются три тонкие линии. Наиболее низкочастотная из них принадлежит свободным анионам, промежуточная — ионным парам, разделенным растворителем, а наиболее высокочастотная — контактными ионными парам (см. *в* на рис. 1). Зависимости равновесных концентраций этих частиц от состава раствора иллюстрирует рис. 2, *в*.

Таким образом, по зависимостям концентраций структурных единиц раствора, а также средних координационных чисел иона лития и перхлорат-иона от содержания соли можно судить о составе ионных пар. Так, в растворе, содержащем 0,10 мольн. доли  $\text{LiClO}_4$ , присутствуют ионные пары, разделенные растворителем состава  $(\text{CH}_3)_2\text{SO} \cdot \text{Li}^+ \cdot \text{OS}(\text{CH}_3)_2 \cdot \text{ClO}_4^- \cdot 2(\text{CH}_3)_2\text{SO}$ . В растворе, содержащем 0,25 мольн. доли  $\text{LiClO}_4$ , разделенные растворителем ионные пары содержат меньшее количество сольватирующего катион и водородно-связанного с анионом растворителя и имеют состав  $(\text{CH}_3)_2\text{SO} \cdot \text{Li}^+ \cdot \text{OS}(\text{CH}_3)_2 \cdot \text{ClO}_4^-$  или  $\text{Li}^+ \cdot \text{OS}(\text{CH}_3)_2 \cdot \text{ClO}_4^-$ . Кроме того, при данной концентрации соли в системе появляются контактные ионные пары состава  $(\text{CH}_3)_2\text{SO} \cdot \text{Li}^+ \cdot \text{ClO}_4^- \cdot (\text{CH}_3)_2\text{SO}$ .

*Спектры КР зарегистрированы на оборудовании Аналитического центра коллективного пользования Дагестанского научного центра РАН при финансовой поддержке Фонда фундаментальных исследований Российской Федерации (грант № 13-03-00384А) и Министерства образования и науки Российской Федерации (ГК № 16.552.11.7092).*

1. Gores H. J., Barthel J., Zugmann S. et al. Liquid nonaqueous electrolytes // Handbook of battery materials. Second Edition / Ed. by C. Daniel, J. O. Besenhard. – Weinheim: Wiley-VCH, 2011. – P. 525–626.
2. Perelygin I. S. Infra-red spectra and solvation of ions // Ionic solvation / Ed. by G. A. Krestov. – Chichester: Ellis Horwood, 1994. – P. 100–207.
3. Alia J. M. Raman spectroscopic studies of ion-ion interactions in aqueous and nonaqueous electrolyte solutions // Handbook of Raman spectroscopy, from the research laboratory to the process line / Ed. by I. R. Lewis, H. G. M. Edwards. – New York: Marcel Dekker, 2001. – P. 617–683.
4. Xu K. Nonaqueous liquid electrolytes for lithium-based rechargeable batteries // Chem. Rev. – 2004. – **104**, No 10. – P. 4303–4417.
5. Adya A. K., Kalugin O. N., Volobuev M. N., Kolesnik Y. V. Microscopic structure of liquid dimethyl sulfoxide and its electrolyte solutions: molecular dynamics simulations // Mol. Phys. – 2001. – **99**, No 10. – P. 835–854.
6. Chalaris M., Marinakis S., Dellis D. Temperature effects on the structure and dynamics of liquid dimethyl sulfoxide: A molecular dynamics study // Fluid Phase Equil. – 2008. – **267**, No 1. – P. 47–60.
7. Wang Z., Huang B., Wang S. et al. Vibrational spectroscopic study of the interaction between lithium perchlorate and dimethylsulfoxide // Electrochim. Acta. – 1997. – **42**, No 17. – P. 2611–2617.
8. Kirillov S. A. Time-correlation functions from band-shape fits without Fourier transform // Chem. Phys. Lett. – 1999. – **303**, No 1–2. – P. 37–42.
9. Kirillov S. A., Morresi A., Paolantoni M., Sassi P. Possible spectroscopic manifestation of the angular group induced bond alteration (AGIBA) effect in toluene // J. Phys. Org. Chem. – 2007. – **20**, No 8. – P. 568–573.
10. Forel M. T., Tranquil M. Spectres de vibration du diméthylsulfoxyde et du diméthylsulfoxyde- $\text{d}_6$  // Spectrochim. Acta. – 1970. – **A26**, No 8. – P. 1023–1034.
11. James D. W., Mayes R. E. Ion-ion-solvent interactions in solution. I solutions of  $\text{LiClO}_4$  in acetone // Aust. J. Chem. – 1982. – **35**, No 9. – P. 1775–1784.
12. Frost R. L., James D. W., Appleby R., Mayes R. E. Ion-pair formation and anion relaxation in aqueous solutions of Group I perchlorates. A Raman spectral study // J. Phys. Chem. – 1982. – **86**, No 19. – P. 3840–3845.

Межведомственное отделение электрохимической  
энергетики НАН Украины, Киев  
Институт физики им. Х. И. Амирханова ДНЦ РАН,  
Махачкала, Россия  
Аналитический центр коллективного пользования  
ДНЦ РАН, Махачкала, Россия

Поступило в редакцию 06.06.2013

М. І. Горобець, С. О. Кириллов, М. М. Гафуров, М. Б. Атаєв,  
Д. О. Третяков

### Сольватація та асоціація іонів у системі $\text{LiClO}_4$ — диметилсульфоксид

*Іонні рівноваги в системі  $\text{LiClO}_4$  — диметилсульфоксид (ДМСО) при  $90^\circ\text{C}$  в інтервалі концентрації 0,05–0,25 мольн. часток солі досліджено методом спектроскопії комбінаційного розсіяння. Встановлено спектроскопічні прояви водневого зв'язку між молекулами ДМСО та перхлорат-іонами. Визначено концентрації мономерних, димерних молекул ДМСО, а також таких, що входять в сольватну сферу катіона літію; вільних молекул розчинника та таких, що входять у сольватну сферу перхлорат-іона; вільних аніонів, іонних пар, розділених розчинником, та контактних іонних пар. Зроблено висновки щодо складу всіх компонентів розчинів.*

M. I. Gorobets, S. A. Kirillov, M. M. Gafurov, M. B. Ataev, D. O. Tretyakov

### Ion solvation and association in $\text{LiClO}_4$ — dimethylsulfoxide system

*Ionic equilibria in the  $\text{LiClO}_4$  — dimethylsulfoxide (DMSO) system at  $90^\circ\text{C}$  in a concentration range from 5 to 25% mole fractions of a salt have been investigated by means of Raman spectroscopy. Spectroscopic manifestations of hydrogen bonds between molecules of DMSO and  $\text{ClO}_4^-$  ions were detected. Concentrations of monomeric, dimeric, and solvating DMSO molecules; free solvent molecules and those included in the  $\text{ClO}_4^-$  ion solvation sphere; free anions, ion pairs, separated by a solvent, and contact ion pairs are identified. Conclusions have been made about the composition of all components of solutions.*